

九州大学 正員 太田俊昭  
学生員○藤岡健三

### 1. まえがき

近年、構造用材の品質向上と溶接技術の著しい進歩に伴い、薄肉多室閉断面形式の部材が、吊橋主塔、および主桁等に多く使用されるようになって来た。この種部材の設計は、今日、主にせん断流理論によって行われているが、同理論の適用範囲は、弾性域に限られるもので、極限設計法に適用するためには、多大の要素分割を必要とする有限要素法等によらなければならぬ。ここに提唱する理論は、弾性曲げせん断流理論を塑性域まで拡張一般化したもので、その特色は、応力と変形に関する基礎式が在来の弾性式と同一形式で導かれていたために、解析手法が弾性のそれに準じるものとなりており、簡易性、実用性がそのまま生かれている点にある。

なお、荷重条件は、单纯曲げ、捩り、および曲げ捩り等の場合が想定されるが、ここでは、単純曲げの解析原理ならびに計算例について報告する。

### 2. 基礎理論

一般に、図-1のような軸力  $N$  と  $x$  主軸回りにモーメント  $M$  が作用するよりを想定する。断面に生じるせん断応力を  $\tau$ 、軸力  $N$  と  $x$ -軸  $M$  により生じる垂直応力を  $\sigma_{BN}$  とすると、これらの応力は、Reuss の方程式によつて次のように与えられる。

$$\tau = G\dot{\gamma} - 2G\dot{\epsilon} \quad (1) \quad \sigma_{BN} = E\dot{\epsilon}_{BN} - \frac{2}{3}E\dot{\epsilon}_{BN}\dot{\gamma} \quad (2)$$

ここで Mises の降伏条件式を導入すれば、式(1)、式(2)中の  $\dot{\epsilon}$  は、塑性時に正の値を持つスカラーワーク数として次の式で求められる<sup>3)</sup>。

$$\dot{\epsilon} = [E\dot{\epsilon}_{BN}\dot{\epsilon}_{BN} + 3G\dot{\epsilon}\dot{\gamma}] / (\frac{2}{3}E\dot{\epsilon}_{BN}^2 + 6G\dot{\epsilon}^2) \quad (3)$$

次に図-2の断面の微小要素( $dZ \times du \times t$ )に着目すれば、せん断応力  $\tau$  と垂直応力  $\sigma_{BN}$  の間には、次式が成立する<sup>3)</sup>。

$$dC \cdot t \cdot dZ + d\sigma_{BN} \cdot t \cdot du = 0 \quad (4)$$

式(4)において、せん断流( $\gamma = \tau/t$ )なる概念を導入した上で、周長上について積分すれば次式を得る。

$$\dot{\gamma} = - \int_0^t \frac{d\sigma_{BN}}{dZ} \cdot t \cdot du + \dot{\gamma}^* \quad (5)$$

$\dot{\gamma}$  は不静定せん断流であり、断面におけるせん断ひずみ  $T$  (工学的)によつて生じるずれを零に引きもどすかとして定義出来る。すなわち、補正ひずみエネルギーを  $U_T$  とすると  $\frac{\partial U_T}{\partial \dot{\gamma}} = 0$  なる条件より、増分形式になおして次式<sup>3)</sup>を得る。

$$\dot{\gamma} = - \frac{\partial U_T}{\partial \dot{\gamma}} \cdot du = 0 \quad (6)$$

式(6)に、せん断ひずみ増分  $\dot{\gamma} = (2G\dot{\gamma} + \dot{\gamma}^*)/Gt$  として代入し、図-3を参照の上整理すれば次式を得る。

$$\dot{\gamma}_i^* a_i - \dot{\gamma}_j^* b_{ij} = - \frac{1}{2} 2G\dot{\gamma}_i \frac{du}{t} + \dot{\gamma}_i^* \frac{du}{t} + 2 \sum_j \dot{\gamma}_j^* f_j G \dot{\gamma} \frac{du}{t} \quad (7)$$

に於し、 $a_i = q_i \frac{du}{t}$ ,  $b_{ij} = q_{ij} \frac{du}{t}$  また  $\dot{\gamma} = G/\dot{\gamma}_0$ ,  $G$ : 標準せん断弾性係数である。

式(7)によつて、不静定せん断流  $\dot{\gamma}^*$  が求められることになり、したがつて式(6)によりせん断流  $\dot{\gamma}$  が、さらにせん断力  $t\tau$  が、弾性、塑性を問はず、 $\tau = \dot{\gamma}/t$  で計算されることになる。

曲率とモーメントの関係は次のようになるとさう。

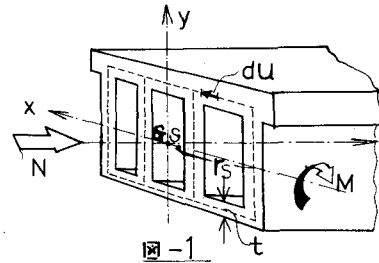


図-1

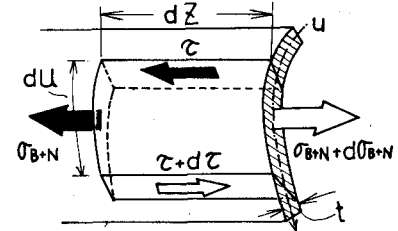


図-2

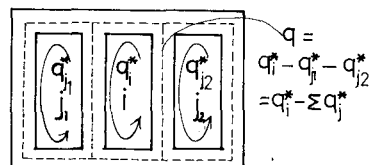


図-3

すなわち、断面の図心Gの垂直ひずみを零とすれば、軸力NとモーメントMによる垂直ひずみ $\epsilon_{BN}$ の間に、曲率中を媒介として増分形式の次式が成立する。

$$\dot{\epsilon}_{BN} = \dot{\epsilon}_g - x\dot{\phi} \quad \dots \dots \dots (8)$$

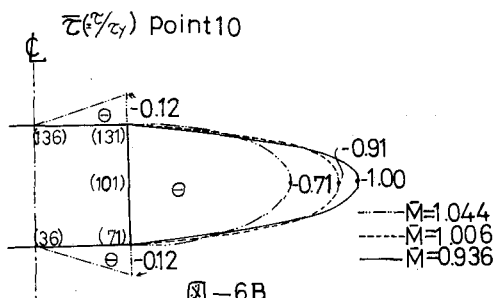
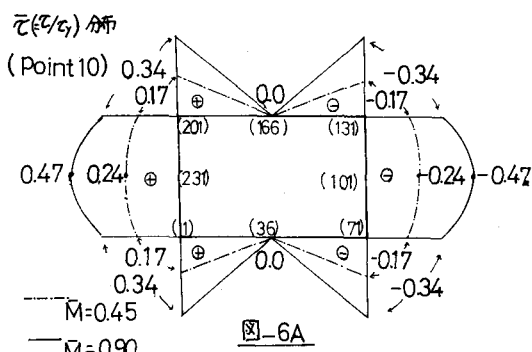
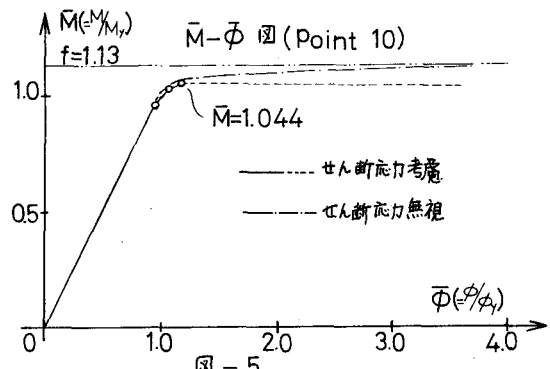
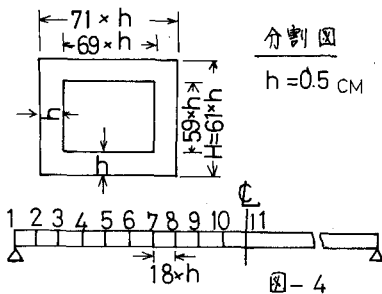
ここで  $M = \int_A \hat{G}_{BN} x dA$ ,  $N = \int_A \hat{G}_{BN} dA$  であるから、式(8)より以下の2式をうる。

$$\begin{aligned} M &= EI\dot{\phi} - \frac{2}{3}E \int_A \hat{G}_{BN} x^2 dA \\ N &= EA\dot{\epsilon}_g - \frac{2}{3}E \int_A \hat{G}_{BN} x dA \end{aligned} \quad \dots \dots \dots (9)$$

以上により、せん断応力の影響を考慮した薄肉閉断面ばかりの弾塑性曲げ解析が可能となる。

### 3. 計算例

図-4に示される薄肉箱型断面形状単純ばかりを対象に、 $M_{10}$  中間点を求める。せん断流の影響を無視した場合との比較を試みる。結果の一部を、図-5、図-6A、6Bに示す。ばね部材は長さ方向20等分、断面は周方向260分割とした。



### 4. あとがき

本研究において、薄肉多室閉断面ばかりが、曲げによって破壊される時、せん断と曲げの組合せ応力によって生じる耐力の減少効果すなわちせん断核による破壊メカニズムが解明できた。なお、著者らは本理論が一軸曲げのみに限らず、捩り、曲げ捩り、およびそれらの組合せ負荷の場合にも、あくまでも拡張適用できる一般性を有するものであることを既に確認しており、これらについては、順次報告する予定である。

### 参考文献

- (1) 山田喜昭 塑性力学 森北出版 (P14~20)
- (2) 太田・中沢 曲げおよび捩りを受ける鋼管の弾塑性解析(第一報) 九大工学部集報 第46巻 4号 548-559 (P522~539)
- (3) 小松定夫 薄肉構造物の理論と計算 I 山海堂 (P108~264)
- (4) 安定訓・小西 橋梁力学 森北出版 (P215~260)
- (5) 林毅 軽構造の理論とその応用(上) 日本科学技術連盟 (P67~116)
- (6) V.L.J.Schwarz 薄肉弾性ばかりの理論 技報堂
- (7) 玉田・藤井 薄肉多室閉断面ばかりの弾塑性曲げ捩り理論 (昭和48年度土木学会西部支部研究発表論文集)